

The role of super quantum discord in super dense coding

Forouzan Mirmasoudi*, Sodeif Ahadpour

Department of Physics, University of Mohaghegh Ardabili, Ardabil

Received: 16.1.2020 Final revised: 30.12.2022 Accepted: 06.02.2023

Doi link: [10.22055/jrmb.2023.18124](https://doi.org/10.22055/jrmb.2023.18124)

Abstract

Quantum correlations have been comprehensively accepted as the main resource for different quantum information processing tasks. If we regard density coding as a process for transmitting information from source to receiver, it is important to understand how the properties of the quantum channel itself can be determined, and under what conditions the channel is suitable for density coding. This study considers super dense coding of a bipartite state via a quantum correlated channel. We find that the dynamic properties of SQD on our channel enable us to determine when and under what conditions the system is suitable for dense coding capacity. The results show that our proposals could lead to this scheme being efficient for quantum information processing.

Keywords: Quantum correlations, Super quantum discord, Density coding

نقش ابرناهمخوانی کوآنتومی در کدگذاری فوق چگال

فروزان میرمسعودی*، صدیف احدپور

گروه فیزیک، دانشکده علوم پایه، دانشگاه محقق اردبیلی، اردبیل، ایران

دریافت: ۱۳۹۸/۱۰/۲۶ ویرایش نهائی: ۱۴۰۱/۱۰/۰۹ پذیرش: ۱۴۰۱/۱۱/۱۷

Doi link: [10.22055/jrmb.2023.18124](https://doi.org/10.22055/jrmb.2023.18124)

چکیده

همبستگی‌های کوآنتومی به‌عنوان منبع اصلی برای کارهای مختلف پردازش اطلاعات کوآنتومی پذیرفته شده‌اند. اگر به کدگذاری چگال به‌عنوان یک فرایندی برای انتقال اطلاعات از منبع تا دریافت کننده اطلاعات نگاه کنیم، این مسئله که چگونه می‌توان از ویژگی‌های کانال کوآنتومی پی برد تحت چه شرایطی کانال برای کدگذاری چگال مناسب است، اهمیت می‌یابد. در این مقاله کدگذاری فوق چگال را با در نظر گرفتن یک مدل ساده کانال کوآنتومی دو کیوبیتی بررسی می‌کنیم. نشان می‌دهیم که ابرناهمخوانی کوآنتومی می‌تواند نقش بسیار مؤثری در پیش‌بینی رفتار ظرفیت کدگذاری فوق چگال داشته باشد. این مسئله می‌تواند نقش مؤثر و مفیدی در فرآیند اطلاعات کوآنتومی داشته باشد.

کلیدواژگان: همبستگی‌های کوآنتومی، ابرناهمخوانی کوآنتومی، کدگذاری فوق چگال

مقدمه

هم به‌دلیل نقش بارزی است که در فرایندهای محاسبات و مبادله اطلاعات کوآنتومی ایفا می‌کند [۷-۲]. یکی از فرایندهای کوآنتومی که براساس درهم‌تنیدگی کوآنتومی عمل می‌کند، کدگذاری فوق چگال است. در فرایند موسوم به کدگذاری فوق چگال، دو بیت کلاسیکی از اطلاعات با ارسال تنها یک کیوبیت به گیرنده ارسال می‌شود. کدگذاری فوق چگال نه تنها به‌صورت نظری [۹-۸] بلکه به‌صورت تجربی [۱۰] نیز مورد بررسی قرار گرفته است. از جمله سیستم‌های کوآنتومی که در کدگذاری چگال مورد توجه قرار گرفته است، می‌توان به زنجیره‌های اسپینی و الکترودینامیک کوآنتومی کاواک اشاره نمود [۷].

پردازش اطلاعات کوآنتومی یکی از شاخه‌های مهم در نظریه اطلاعات کوآنتومی محسوب می‌شود [۱]. پردازش کلاسیک اطلاعات در هر شکلی بر مبنای دیجیتال و محاسبات کلاسیکی انجام می‌گیرد، اما یک روش بهتر و کاربردی‌تر برای پردازش اطلاعات بر اساس مکانیک کوآنتومی است. این روش جدید با ویژگی‌هایی همراه است که آن را از محاسبات کلاسیکی بسیار متمایز می‌سازد. همبستگی کوآنتومی و درهم‌تنیدگی به‌عنوان کمیت‌هایی که یک خصلت کوآنتومی را بیان می‌کنند در سال‌های اخیر مورد پژوهش وسیعی قرار گرفته‌اند. این توجه هم ناشی از نقش درهم‌تنیدگی در مبانی مکانیک کوآنتومی است و

* نویسنده مسئول: fmirmasoudi@uma.ac.ir

ناهمخوانی کوآنتومی یک خاصیت کوآنتومی است که اولین بار توسط اولیور و زورک در سال ۲۰۰۱ معرفی شد [۱۱]. ناهمخوانی، تفاضل بین دو عبارت اطلاعات متقابل کوآنتومی و کلاسیکی است، که در تعیین و کاربرد همبستگی‌های کوآنتومی در حالت مخلوط بسیار مفید است، زیرا حالت‌های مخلوط همبستگی‌هایی دارند که همبستگی‌های کلاسیکی‌شان نهان هستند [۱۲]. ناهمخوانی کوآنتومی، همبستگی کوآنتومی بین بخش‌های مختلف سیستم را اندازه‌گیری می‌کند. ناهمخوانی کوآنتومی یک منبع کلیدی در اندازه‌گیری همبستگی‌ها محسوب می‌شود. ناهمخوانی کوآنتومی بر اساس اندازه‌گیری‌های قوی (عملگرهای تصویری)^۱ بیان می‌شود. اندازه‌گیری یک حالت کوآنتومی دلخواه بر اساس عملگرهای تصویری منجر به از دست دادن هم‌دوسی می‌شود [۱۳]. در حالی که اگر اندازه‌گیری به‌آرامی صورت گیرد هم‌دوسی سیستم را حین اندازه‌گیری حفظ می‌کند. از این‌رو اندازه‌گیری ضعیف می‌تواند در حفظ همبستگی کوآنتومی بسیار مؤثر باشد. یک خاصیت کوآنتومی به نام ابرناهمخوانی^۲ بر اساس اندازه‌گیری ضعیف^۳ تعریف شد [۱۳].

اگر به کدگذاری چگال به‌عنوان یک فرایندی برای انتقال اطلاعات از منبع تا دریافت‌کننده اطلاعات نگاه کنیم، این مسئله که چگونه می‌توان از ویژگی‌های کانال کوآنتومی پی‌برد تحت چه شرایطی کانال برای کدگذاری فوق چگال مناسب است، اهمیت می‌یابد. برای درک فیزیکی سؤال فوق و کسب توانایی علمی

جهت پاسخ‌گویی، در ادامه با در نظر گرفتن یک کانال کوآنتومی به بررسی کدگذاری فوق چگال می‌پردازیم. کدگذاری چگال به‌عنوان یک پروتکل مخابراتی در سال ۱۶۶۲ توسط Bennet و Wiesner ارائه شد و یکی از زمینه‌های قابل توجهی است که درهم‌تنیدگی نقش مهمی در آن ایفا می‌کند. حالت درهم‌تنیدگی اولیه که بین فرستنده و گیرنده به‌اشتراک گذاشته می‌شود با این ویژگی که می‌توان آن را توسط عملگر یکانی به‌حالت دیگر تبدیل کرد از اهمیت خاصی در این پروتکل مخابراتی برخوردار است. در این مقاله فرض می‌کنیم آلیس (فرستنده) یک حالت درهم‌تنیده دو کیوبیتی دارد و می‌خواهد آن را از طریق یک کانال کوآنتومی به باب (گیرنده) ارسال نماید. لازم به‌ذکر است که کانال کوآنتومی در این مقاله حالت ورنر^۴ است. ظرفیت کدگذاری فوق چگال و ابرناهمخوانی را برای یک کانال کوآنتومی محاسبه و با هم مقایسه می‌کنیم.

ناهمخوانی کوآنتومی

ناهمخوانی کوآنتومی، ارتباط بین بخش‌های مختلف یک سیستم را اندازه‌گیری می‌کند [۱۱]. با استفاده از ناهمخوانی کوآنتومی نشان داده شده برای حالت‌های مخلوط جداپذیر نیز، ارتباط کوآنتومی وجود دارد. ناهمخوانی کوآنتومی را به‌صورت اختلاف همبستگی‌های کلاسیکی و کوآنتومی تعریف می‌شود [۱۱-۱۴]:

³ Weak measurements.

⁴ Werner state

¹ Positive operator

² Super discord

ابرناهمخوانی کوآنتومی

یکی دیگر از همبستگی‌های کوآنتومی که برحسب اندازه‌گیری‌های ضعیف تعریف می‌شود، ابرناهمخوانی کوآنتومی نامیده می‌شود [۲]. عملگرهای اندازه‌گیری ضعیف به صورت زیر تعریف می‌شود:

$$P(\pm x) = \sqrt{\frac{1 \pm \tanh x}{2}} \hat{\Pi}_0 + \sqrt{\frac{1 \mp \tanh x}{2}} \hat{\Pi}_1 \quad 5$$

که x شدت اندازه‌گیری ضعیف است. $\hat{\Pi}_0$ و $\hat{\Pi}_1$ پایه‌های اورتونرمال و از قاعده $\hat{\Pi}_0 + \hat{\Pi}_1 = \hat{I}$ پیروی می‌کنند، $\lim_{x \rightarrow \infty} P(+x) = \hat{\Pi}_0$ و $\lim_{x \rightarrow \infty} P(-x) = \hat{\Pi}_1$ است. ابرناهمخوانی کوآنتومی به صورت زیر تعریف می‌شود:

$$SQD = S(\rho^B) - S(\rho^{AB}) + \min_{\{\Pi_j^B\}} S_W(A|P^B(x)) \quad 6$$

که آنتروپی شرطی برحسب عملگرهای ضعیف تعریف می‌شود:

$$S_W(A|P^B(x)) = P(x)S(\rho_{A|P^B(x)}) + P(-x)S(\rho_{A|P^B(-x)})$$

در ادامه با استفاده روش‌های به کار رفته در [۱۵-۱۸] با در نظر گرفتن حالت دو کیوبیتی ورنر دو کیوبیتی به محاسبه ابرناهمخوانی کوآنتومی می‌پردازیم.

کد گذاری فوق چگال

به منظور انجام کدگذاری فوق چگال با در نظر گرفتن یک سیستم دو کیوبیتی، ابتدا باید به ساخت مجموعه دو کیوبیتی متعامد پردازیم [۱۹-۲۰]

$$QD = I(\rho) - C(\rho) \quad 1$$

حذف همبستگی‌های کلاسیکی توسط اعمال مخرب‌ترین اندازه‌گیری‌ها رو یک زیرسامانه صورت می‌گیرد. اطلاعات متقابل، سنجه‌ای برای اندازه‌گیری همبستگی به صورت زیر تعریف می‌شود:

$$I(\rho^{AB}) = S(\rho^A) + S(\rho^B) - S(\rho^{AB}) \quad 2$$

که $S(\rho_A) = -\text{Tr}(\rho_A \text{Ln}(\rho_A))$ آنتروپی فون-نویمن و $S(\rho^{AB})$ آنتروپی توام A و B ، آنتروپی کاهش یافته بخش A و B است. همبستگی کلاسیکی به صورت زیر تعریف می‌شود:

$$C(\rho^{AB}) = S(\rho^B) - \min_{\{\Pi_j^B\}} \left(\sum_j p_j S(\rho_{A|\hat{\Pi}_j^B}) \right) \quad 3$$

پس:

$$QD = S(\rho^B) - S(\rho^{AB}) + \min_{\{\hat{\Pi}_j^B\}} \left(\sum_j p_j S(\rho_{A|\hat{\Pi}_j^B}) \right) \quad 4$$

$\hat{\Pi}_j^B$ عملگرهای تصویری متعامد هستند. چنانچه \hat{I} زامین خروجی را داشته باشیم، حالت بعد از اندازه‌گیری روی زیر سامانه برابر

$$\rho_{A|\hat{\Pi}_j^B} = \frac{\hat{\Pi}_j^B \rho_{AB} \hat{\Pi}_j^B}{\text{Tr}(\hat{\Pi}_j^B \rho_{AB} \hat{\Pi}_j^B)}$$

می‌شود که این خروجی با احتمال

$$p_j = \text{Tr}_{AB}(\hat{\Pi}_j^B \rho_{AB})$$

حاصل می‌شود.

فرستنده و U_i تبدیلات یکانی است. به این ترتیب، میانگین آنسامبلی از حالت های منفرد تولید شده توسط تبدیلات واحد از رابطه زیر به دست می آید:

$$\rho^* = \frac{1}{4} \sum_{i=0}^3 (U_i \otimes I_2) \rho (U_i^\dagger \otimes I_2) \quad ۷$$

که اندیس ۰ بیانگر عنصر ۰۰، ۱ برای ۰۱، ۲ برای ۱۰، ۳ برای ۱۱ و ρ ماتریس چگالی کانال کوانتومی می باشد. اگر فرستنده مجموعه ای از تبدیلات یکانی متعامد را انجام دهد، بیشینه ظرفیت کد گذاری به صورت زیر به دست می آید:

$$\chi = S(\rho^*) - S(\rho) \quad ۸$$

که $S(\rho^*)$ آنترپی فون نویمن حالت متوسط آنسامبلی از حالت های منفرد ρ^* است و $S(\rho)$ آنترپی فون نویمن کانال کوانتومی می باشد. به ازای $\chi > 1$ کد گذاری معتبر بوده و بهینه کد گذاری کوانتومی به ازای $\chi_{max} = 2$ رخ می دهد. حالت کانال ρ را یک حالت ورنر دو کیوبیتی به صورت زیر در نظر می گیریم:

$$\rho_{ch} = \lambda |\psi^-\rangle \langle \psi^-| + \left(\frac{1-\lambda}{4}\right) I \quad ۹$$

که $|\psi^-\rangle = \frac{1}{\sqrt{2}}[|01\rangle - |10\rangle]$ یکی از حالت های بل و $0 \leq \lambda \leq 1$ است. حال با جای گذاری معادله ۹ در معادله ۷ ماتریس چگالی خروجی به صورت زیر محاسبه می شود:

$$\rho^* = \left(\frac{1-\lambda}{4}\right)[|00\rangle \langle 00| + |11\rangle \langle 11|] + \left(\frac{1+\lambda}{4}\right)[|01\rangle \langle 10| + |10\rangle \langle 01|] \quad ۱۰$$

$$U_{00}|J\rangle = |J\rangle$$

$$U_{01}|J\rangle = |J+1(\text{mod } 2)\rangle$$

$$U_{10}|J\rangle = e^{\sqrt{-1}(2\pi/2)j} |J\rangle$$

$$U_{11}|J\rangle = e^{\sqrt{-1}(2\pi/2)j} |J+1(\text{mod } 2)\rangle$$

که $|j\rangle$ پایه محاسباتی تک کیوبیتی $(|j\rangle = \{|0\rangle, |1\rangle})$ است. عملگری که آلیس روی کیوبیتش اعمال می کند به پیمای که می خواهد برای باب فرستد بستگی دارد: اگر بخواهد "۰۰" را بفرستد، کیوبیت را دست نخورده می گذارد؛ اگر بخواهد "۰۱" را بفرستد، عملگر پاولی X را اعمال می کند؛ اگر بخواهد "۱۱" را بفرستد، عملگر Y و اگر بخواهد "۱۰" را ارسال کند عملگر Z را روی کیوبیتش اعمال می کند. پس از آن، آلیس کیوبیتش را از طریق یک کانال کوانتومی برای باب میفرستد. حال ما فرض می کنیم $0 \rightarrow 00, 1 \rightarrow 01, 2 \rightarrow 10, 3 \rightarrow 11$ جایگزین شوند. فرستنده به منظور ارسال کیوبیت خود مجموعه ای از تبدیلات یکانی متعامد:

$$U_0 = \begin{pmatrix} 1 & 0 \\ 0 & 1 \end{pmatrix}, \quad U_1 = \begin{pmatrix} 1 & 0 \\ 0 & -1 \end{pmatrix}$$

$$U_2 = \begin{pmatrix} 0 & 1 \\ 1 & 0 \end{pmatrix}, \quad U_3 = \begin{pmatrix} 0 & i \\ -i & 0 \end{pmatrix}$$

را انجام می دهد، توجه کنید که این چهار عملگر یکانی هستند و در نتیجه می توان آن را متناظر با یک تحول زمانی در نظر گرفت، پس آلیس می تواند هر یک از آنها را برای کیوبیت خود اثر دهد. اینکه فرستنده یک عملگر یکانی را روی کیوبیت خودش اثر می دهد معادل با یک تحول زمانی مانند $U_i \otimes I_2$ روی کل سیستم است. لازم به ذکر است I_2 عملگر واحد برای

حال برای پاسخ به سؤالی که پیشتر مطرح شد که آیا می‌توان از روی خود حالت‌های درهم‌تنیده که در فرایند کدگذاری فوق چگال استفاده می‌شود پی برد آیا این حالت‌ها قطعاً نقش مؤثری در این فرایند دارند یا نه؟ به بررسی تغییرات ابرناهمخوانی کوآنتومی و ظرفیت کدگذاری به‌ازای x ‌های مختلف برحسب λ می‌پردازیم. شکل‌های ۲ که نمودار ظرفیت کدگذاری برحسب λ است، نتیجه این مطالعه را نشان می‌دهند. شکل ۲ نشان می‌دهد که با افزایش λ ابرناهمخوانی کوآنتومی افزایش می‌یابد. یعنی هرچه حالت کانال به حالت بل نزدیکتر می‌شود، این کانال برای کدگذاری فوق چگال کارآمدتر است. از نمودارهای ۲ مشهود است که ظرفیت کدگذاری فوق چگال و ابرناهمخوانی حالت ارسال شده در کدگذاری فوق چگال به‌ازای حالتی که حالت کانال بیشترین حالت درهم‌تنیدگی دارد به مقدار بیشینه می‌رسد. بنابراین با تنظیم مقدار مناسب برای λ می‌توان به مقدار بهینه ظرفیت کدگذاری فوق چگال دسترسی یافت. به‌طوری‌که به‌ازای تقریباً $\lambda \geq 0.8$ ظرفیت کدگذاری فوق چگال به مقدار مطلوب خود یعنی به $\lambda=1$ می‌رسد. ویژگی جالب دیگر که از مقایسه رفتار ظرفیت کدگذاری فوق چگال و ابرناهمخوانی کوآنتومی می‌توان دید این است که به‌ازای مقدار کوچکی از عملگر اندازه‌گیری ضعیف نحوه رفتار ظرفیت کدگذاری چگال و ابرناهمخوانی کوآنتومی منطبق بر یکدیگرند.

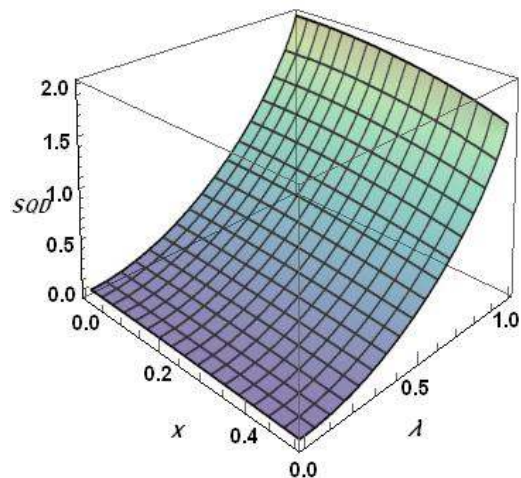
و سپس با استفاده از رابطه ۸ با محاسبه ماتریس چگالی خروجی ظرفیت کدگذاری چگال به‌سادگی به‌دست می‌آید:

۱۱

$$\chi = \frac{3(1-\lambda)\text{Ln}[1-\lambda] + (1+3\lambda)\text{Ln}[1+3\lambda]}{4\text{Ln}[2]}$$

محاسبات و نتایج

در این بخش به محاسبه رفتار ظرفیت کدگذاری فوق چگال و ابرناهمخوانی کوآنتومی به‌دست آمده در بخش پیشین برحسب λ می‌پردازیم. به‌جهت سنجش همبستگی کوآنتومی حالت ورنر (معادله ۹) با در نظر گرفتن معادله ۶ در شکل ۱ تغییرات ابرناهمخوانی کوآنتومی به‌ازای λ و x ‌های مختلف نشان داده شده است. این شکل نشان می‌دهد، در یک λ معین با افزایش x ابرناهمخوانی کاهش می‌یابد. به‌طوری‌که بیشترین مقدار ابرناهمخوانی کوآنتومی در $\lambda=1$ و به‌ازای x ‌های کوچک رخ می‌دهد.

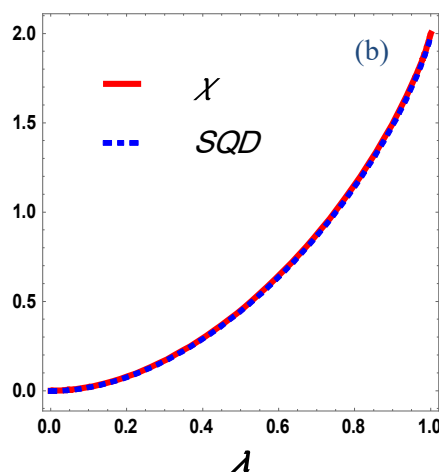
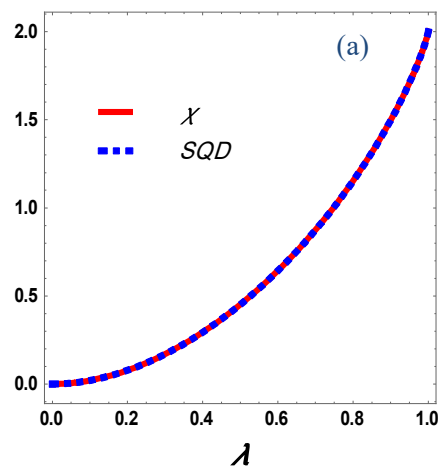


شکل ۱. ابرناهمخوانی کوآنتومی حالت ورنر برحسب λ ، x .

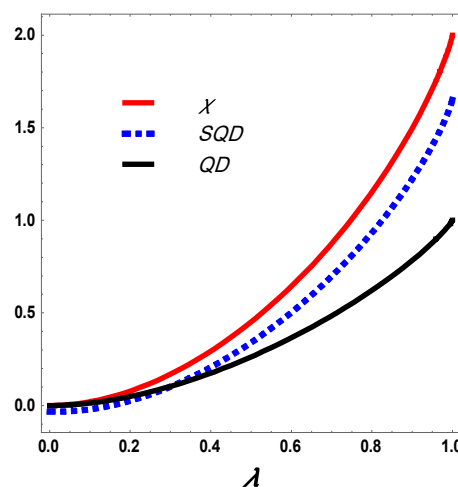
در شکل ۳ نمودار ناهمخوانی کوآنتومی و ابرناهمخوانی کوآنتومی حالت خروجی و ظرفیت کدگذاری کوآنتومی برحسب به‌ازای رسم شده است. می‌توان از شکل ۳ ملاحظه نمود که با افزایش شدت اندازه‌گیری ضعیف ابرناهمخوانی کوآنتومی و ظرفیت کدگذاری فوق چگال برهم منطبق نیستند، طبق انتظار در x های بزرگتر همبستگی کوآنتومی سیستم به حد ناهمخوانی کوآنتومی نزدیک می‌شود. به‌علاوه در این مورد حالت بل (معادله ۹) مناسب برای کدگذاری فوق چگال است. به‌طور کلی، خواص دینامیک ابرناهمخوانی کوآنتومی گویای این است که به‌ازای مقدار بسیار کوچک از شدت پارامتر اندازه‌گیری ضعیف، کانال تحت چه شرایطی می‌تواند مناسب برای کدگذاری فوق چگال باشد. بنابراین با وجود اینکه ابرناهمخوانی کوآنتومی کانال کوآنتومی می‌تواند گویای کدگذاری فوق چگال بهینه باشد، این امر می‌تواند سبب کاهش قابل توجهی در هزینه سامانه‌های مخابرات کوآنتومی خواهد شد.

نتایج

در این مقاله کدگذاری فوق چگال کوآنتومی را تحت کانال با حالت ورنر دو کیوبیتی مورد بررسی قرار گرفت. طبق نتایج وقتی حالت کانال بل است، ظرفیت کدگذاری می‌تواند به مقدار بهینه خود برسد. به‌علاوه، نتایج نشان می‌دهند رفتار ظرفیت کدگذاری فوق چگال از رفتار ابرناهمخوانی کانال به‌ازای یک مقدار کوچکی از شدت پارامتر اندازه‌گیری ضعیف قابل پیش‌بینی است. بنابراین عملگرهای اندازه‌گیری



شکل ۲. ابرناهمخوانی (خط تیره-آبی) و ظرفیت کدگذاری فوق چگال (خط پر-قرمز) به‌ازای (a) $x = 0.02$ و (b) $x = 0.1$



شکل ۳. ابرناهمخوانی (خط تیره-آبی)، ناهمخوانی کوآنتومی (خط پر-مشکی) و ظرفیت کدگذاری فوق چگال (خط پر-قرمز) به‌ازای‌های مختلف به‌ازای $x = 0.5$.

[8] F. Mirmasoudi, S. Ahadpour, Dynamics of super quantum discord and optimal dense coding in quantum channels, *Journal of Physics A: Mathematical and Theoretical* **51** 34 (2018) 345302. <https://doi.org/10.1088/1751-8121/aacd29>.

[9] A. Barenco, K.E. Artur, Dense coding based on quantum entanglement, *Journal of Modern Optics* **42** 6 (1995) 1253-1259.

<https://doi.org/10.1080/09500349514551091>

[10] K. Mattle, et al. Dense coding in Experimental quantum communication, *Physical Review Letters* **76** 25 (1996) 4656. <https://doi.org/10.1007/s00339-006-3783-x>

[11] H. Ollivier, W.H. Zurek, Quantum discord: A measure of the quantumness of correlations, *Physical Review Letters* **88** (2001) 017901. <https://doi.org/10.1103/PhysRevLett.88.017901>

[12] A.K. Maurya, M.K. Mishra, H. Prakash, Quantum discord and entanglement in quasi-Werner states based on bipartite superposed coherent states, arXiv preprint (2012) arXiv:1210.2212.

[13] Y.S. Kim, J.C. Lee, O. Kwon, Y.H. Kim, Protecting entanglement from decoherence using weak measurement and quantum measurement reversal, *Nature Physics* **8** (2012) 117. <https://doi.org/10.1117/12.2024442>

[14] C.H. Bennett, G. Brassard, Quantum Cryptography: Public Key Distribution and Coin Tossing, *Proceedings of IEEE International Conference on Computers Systems and Signal Processing*, Bangalore India, (1984) 175-179. <https://doi.org/10.1016/j.tcs.2014.05.025>

[15] M. Ali, A.R.P. Rau, G. Alber, Quantum discord for two-qubit X states,

ضعیف نقش بسیار مهمی می‌توانند در انتقال اطلاعات کوآنتومی داشته باشند.

مرجع‌ها

- [1] J. Lee, M.S. Kim, Entanglement teleportation via Werner states, *Physical Review Letters* **84** 18 (2000) 4236. <https://doi.org/10.1103/PhysRevLett.84.4236>.
- [2] M.A. Nielsen, I. Chuang, Quantum computation and quantum information, (2002) 558-559. <https://doi.org/10.1119/1.1463744>.
- [3] M.B. Plenio, V. Vedral, (1998). Teleportation, entanglement and thermodynamics in the quantum world. *Contemporary physics*, **39** 6, 431-446. <https://doi.org/10.1080/001075198181766>
- [4] M.C. Arnesen, S. Bose, V. Vedral, Natural thermal and magnetic entanglement in the 1D Heisenberg model, *Physical Review Letters* **87** 1 (2001) 017901. <https://doi.org/10.1103/PhysRevLett.87.017901>
- [5] S. Ghosh, et al., Entangled quantum state of magnetic dipoles, *Nature* **425** 6953 (2003) 48. <https://doi.org/10.1038/nature01888>
- [6] S. Mirzaei, Entanglement and Fidelity of Quantum Teleportation in Heisenberg XXZ Model with Multiple Interactions, *Journal of Research on Many-body Systems* **12** 3 (2022) 39-49. <https://doi.org/10.22055/jrmbms.2022.17867>.
- [7] F. Mirmasoudi, S. Ahadpour, Super quantum discord behaviors in two-qubit Heisenberg XYZ model with intrinsic decoherence, *Journal of Research on Many-body Systems* **8** 17 (2018) 181-189. <https://doi.org/10.22055/JRMBS.2018.13898>.

Physics **343** (2014) 141–152.
<https://doi.org/10.1016/j.aop.2014.02.004>

[19] C.H. Bennett, J.W. Stephen, Communication via one-and two-particle operators on Einstein-Podolsky-Rosen states, *Physical review letters* **69** 20 (1992) 2881.
<https://doi.org/10.1103/PhysRevLett.69.2881>

[20] T. Hiroshima, Optimal dense coding with mixed state entanglement, *Journal of Physics A: Mathematical and General* **34** 35 (2001). <https://doi.org/10.1088/03054470/34/35/316>

Physical Review A **81** (2010) 042105.
<https://doi.org/10.1103/PhysRevA.81.042105>

[16] T. Li, T. Ma, Y. Wang, S. Fei, Z. Wang, Super Quantum Discord for X-type States *International Journal of Theoretical Physics* (2015) 54:680–688.
<https://doi.org/10.1007/s10773-014-2260-0>

[17] Y.K. Wang, T. Ma, H. Fan, S.M. Fei, Z. Xi. Wang, Super quantum correlation and geometry for Bell-diagonal states with weak measurements, *Quantum Information Processing* **13** (2014) 283–297.
<https://doi.org/10.1007/s11128-013-0649-y>

[18] U. Singh, A.K. Pati, Quantum discord with weak measurements, *Annals of*